

# МАГНИТОУПРУГИЙ ВКЛАД В ТЕПЛОВОЕ РАСШИРЕНИЕ РЕДКОЗЕМЕЛЬНЫХ ШЕЕЛИТОВ $RLiF_4$ ( $R = Tb-Yb$ )

*З. А. Казей\*, О. А. Шишкина, Р. И. Чаниева, Р. Ю. Абдулсабиров, С. Л. Кораблева*

Московский государственный университет им. М. В. Ломоносова  
119899, Москва, Россия

Поступила в редакцию 29 января 2003 г.

Проведены систематические экспериментальные и теоретические исследования теплового расширения редкоземельных шеелитов  $RLiF_4$  ( $R = Tb-Ho, Tm, Lu$ ). Обнаружены значительные магнитоупругие аномалии теплового расширения и с учетом поправок на изменение фононного вклада по ряду  $RLiF_4$  в дебаевской модели теплового расширения выделены магнитоупругие вклады. На основании сравнения рассчитанных мультипольных моментов различных порядков для различных редкоземельных ионов проанализирована применимость квадрупольного приближения для полносимметричных мод в структуре шеелита. Показано, что для ряда ионов (Ho, Tm) магнитоупругий вклад в тепловое расширение не описывается температурными зависимостями квадрупольных моментов и значительный вклад дают мультипольные моменты. Из экспериментальных данных для магнитоупругих вкладов определены полносимметрические магнитоупругие коэффициенты для структуры шеелита и проведено их сравнение со структурой циркона.

PACS: 71.70.-d, 75.30.Cr, 75.30.Sg

## 1. ВВЕДЕНИЕ

Магнитоупругое (МУ) взаимодействие в редкоземельных соединениях, которое велико по сравнению со взаимодействием в соединениях переходных элементов с незаполненной  $d$ -оболочкой, играет важную роль в формировании их магнитных характеристик и обуславливает различные МУ-эффекты, например, структурные фазовые переходы ян-теллеровской природы [1]. Одним из наиболее простых спонтанных эффектов является МУ-вклад в тепловое расширение, который не сопровождается понижением симметрии кристалла и описывается полносимметричными МУ-модами. Магнитоупругие эффекты связаны с дополнительной деформацией решетки при изменении магнитного состояния иона и могут проявляться, как известно, и в отсутствие магнитного поля, например, в виде спонтанной магнитострикции при магнитном упорядочении кристалла или деформации, обусловленной МУ-связью анизотропного электронного облака  $4f$ -оболочки с решеткой.

Изменение анизотропии распределения электронного облака с понижением температуры из-за уменьшения заселенности возбужденных уровней и приводит к МУ-аномалиям параметров решетки.

В квадрупольном приближении МУ-эффекты зависят, с одной стороны, от МУ-коэффициентов, являющихся характеристикой всей серии редкоземельных соединений, и, с другой стороны, от функции отклика редкоземельного иона, определяемой его электронной структурой. При исследовании МУ-явлений главная проблема состоит в определении МУ-коэффициентов. Имеющиеся в настоящее время теоретические расчеты МУ-констант, выполненные, например, в модели обменных зарядов [2], содержат целый ряд неизвестных параметров, которые в рамках модели варьируются в достаточно широких пределах. При этом для расчета из первых принципов необходимо знать множество структурных и электронных параметров исследуемого соединения. Кроме того, для таких расчетов отсутствует последовательное сравнение с экспериментом, которое подтвердило бы адекватность использованной модели и полученных результатов. Поэтому рассчитанные МУ-коэффициенты можно

\*E-mail: kazei@plms.phys.msu.su

рассматривать только как оценки. Рассмотрение МУ-коэффициентов в качестве феноменологических констант и определение их из сравнения с экспериментальными данными является в настоящее время более принятым подходом.

В настоящей работе исследовался МУ-вклад в тепловое расширение редкоземельных шеелитов. Целью работы являлось исследование полносимметричных МУ-мод в структуре шеелита и анализ применимости квадрупольного приближения для их описания. Ранее аналогичные исследования были проведены для серии редкоземельных ванадатов и фосфатов со структурой циркона [3, 4]. Параметры кристаллического поля для редкоземельных цирконов и шеелитов существенно различаются, так что одни и те же редкоземельные ионы имеют различные спектры и, следовательно, ведут себя совершенно по-разному в этих тетрагональных структурах. Поэтому несомненный интерес представляет систематическое исследование МУ-взаимодействий для серии редкоземельных шеелитов и последующее их сравнение с редкоземельными цирконами с учетом различия кристаллических полей и структурных параметров.

## 2. ОБРАЗЦЫ И МЕТОДИКА ИЗМЕРЕНИЙ

Измерения теплового расширения шеелитов  $RLiF_4$  ( $R = Tb$ – $Ho$ ,  $Tm$ ,  $Lu$ ) проводились на рентгеновском дифрактометре «Гейгерфлакс» с проточным гелиевым криостатом CF-107 (Oxford Instruments). Для исследования использовались монокристаллы, выращенные методом Бриджмена, из которых вырезались пластинки размером  $1 \times 4 \text{ mm}^2$  и толщиной 0.5–1 мм, перпендикулярные осям  $a$  и  $c$ . Температурные измерения параметров  $a$  и  $c$  проводились по рефлексам (600) ( $K_\beta$ -излучение Co,  $2\theta \sim 130^\circ$ – $140^\circ$ ) и (0012) ( $K_\beta$ -излучение Fe,  $2\theta \sim 150^\circ$ – $160^\circ$ ), которые обеспечивали относительную точность измерения  $\delta a/a \approx \delta c/c \approx \approx \text{ctg } \theta \Delta \theta \approx 10^{-5}$  ( $\Delta \theta \approx 0.003^\circ$ ).

## 3. ЭКСПЕРИМЕНТАЛЬНЫЕ РЕЗУЛЬТАТЫ

### 3.1. Тепловое расширение $RLiF_4$ ( $R = Tb$ – $Ho$ , $Tm$ , $Lu$ )

Для экспериментального исследования в данной работе были выбраны кристаллы  $RLiF_4$  с ионами  $Tb$ ,  $Dy$ ,  $Ho$ ,  $Tm$ , для которых, согласно расче-

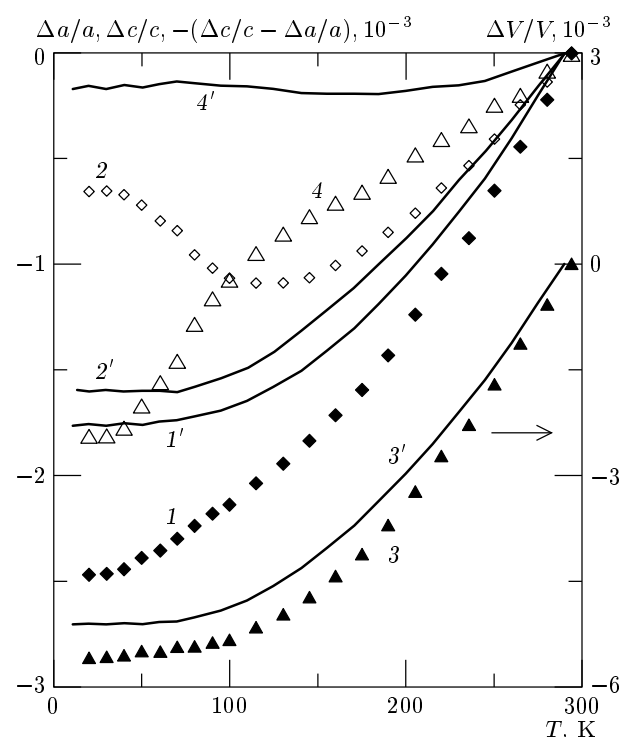
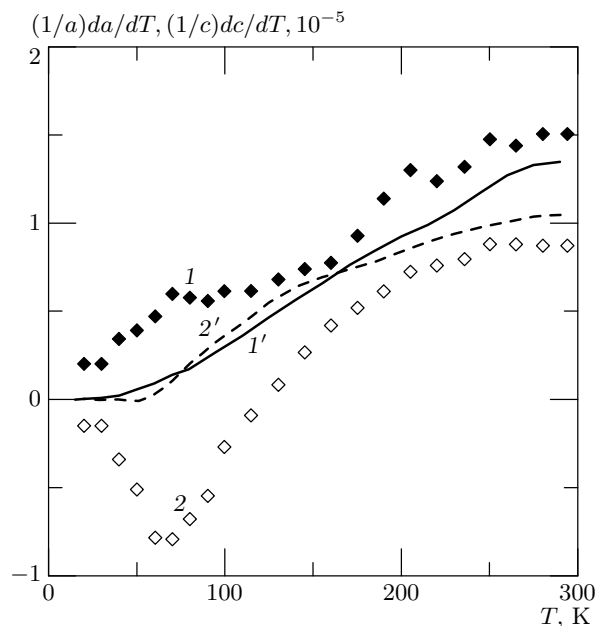


Рис. 1. Относительные изменения с температурой параметров  $\Delta a/a$  (1),  $\Delta c/c$  (2), объема  $\Delta V/V$  (3) и степени тетрагональности  $(\Delta c/c - \Delta a/a)$  (4) элементарной ячейки  $TbLiF_4$ ; для сравнения показаны аналогичные зависимости  $\Delta a/a$  (1'),  $\Delta c/c$  (2'),  $\Delta V/V$  (3') и  $(\Delta c/c - \Delta a/a)$  (4') для  $LuLiF_4$

там, ожидался наибольший по величине МУ-вклад в тепловое расширение. Рассмотрим особенности теплового расширения редкоземельных шеелитов на примере  $TbLiF_4$ . На рис. 1 приведены экспериментальные температурные зависимости параметров  $a$  и  $c$  ( $\Delta a/a = a(T)/a_0 - 1$ ,  $\Delta c/c = c(T)/c_0 - 1$ ,  $a_0 = a(290 \text{ K})$ ,  $c_0 = c(290 \text{ K})$ ; кривые 1 и 2) и объема  $V$  ( $\Delta V/V = V(T)/V_0 - 1$ ,  $V_0 = a_0^2 c_0$ ; кривая 3) тетрагональной элементарной ячейки  $TbLiF_4$ . Такая нормировка позволяет исключить влияние систематической ошибки измерения, связанной с юстировкой кристалла. Сплошными линиями (кривые 1', 2', 3') на этом же рисунке показаны аналогичные зависимости для  $LuLiF_4$ , которые используются для определения фононного вклада в тепловое расширение  $RLiF_4$ . Для изоморфного соединения  $LuLiF_4$ , не содержащего магнитных ионов, зависимости  $\Delta c/c$  и  $\Delta a/a$  имеют обычный дебаевский вид и их величина при  $T = 20 \text{ K}$  составляет соответственно  $16 \cdot 10^{-3}$  и  $18 \cdot 10^{-3}$ .

Кривая  $\Delta a/a$  для  $Tb$ -шеелита при всех темпера-



**Рис. 2.** Коэффициенты теплового расширения перпендикулярно (1) и вдоль (2) тетрагональной оси в  $\text{TbLiF}_4$ ; для сравнения показаны аналогичные зависимости (1') и (2') в  $\text{LuLiF}_4$

турах проходит ниже соответствующей кривой для Lu-соединения, причем температурная зависимость отличается от дебаевской, для которой характерно насыщение ниже 100–80 К. На кривой  $\Delta a/a$  для  $\text{TbLiF}_4$  при  $T \sim 80$  К наблюдается особенность, которой соответствует локальный минимум коэффициента теплового расширения  $\alpha_a = (1/a)da/dT$  (рис. 2).

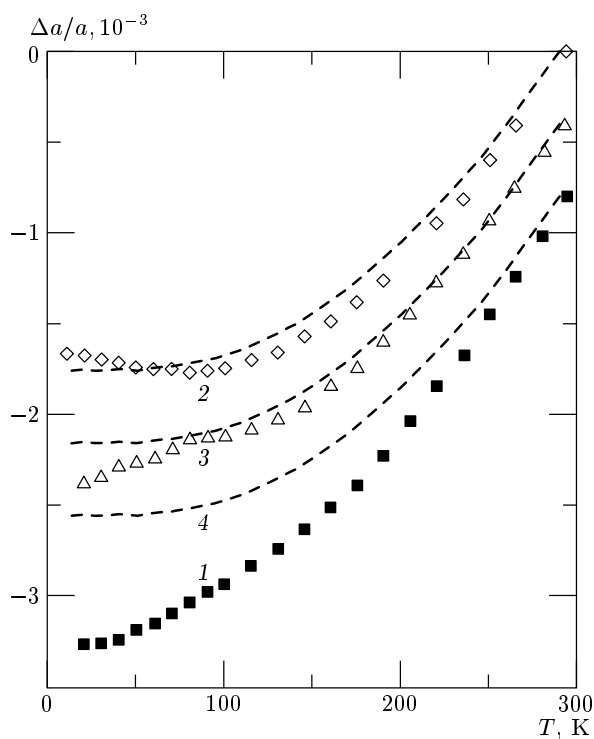
Температурная зависимость  $\Delta c/c$  Tb-шеелита имеет немонотонный характер с минимумом в районе 120 К. Коэффициент теплового расширения вдоль тетрагональной оси,  $\alpha_c = (1/c)dc/dT$ , меняет знак при  $T \sim 120$  К и имеет экстремум при температуре примерно 80 К, совпадающей с температурой минимума коэффициента  $\alpha_a$  (рис. 2). Видно, что МУ-вклад вдоль обеих осей для  $\text{TbLiF}_4$  незначителен при температурах выше 200 К, но резко возрастает при более низких температурах. Для кристалла  $\text{TbLiF}_4$  МУ-вклад положителен для параметра  $c$  и отрицателен для параметра  $a$ , что приводит к увеличению анизотропии теплового расширения вдоль и перпендикулярно тетрагональной оси. Аномалии на кривых  $\Delta a/a$  и  $\Delta c/c$   $\text{TbLiF}_4$  обусловливают объемную аномалию  $\Delta V/V = \Delta c/c + 2\Delta a/a \sim 5 \cdot 10^{-3}$ , МУ-вклад в объемную деформацию, определенный

по отношению к Lu-соединению, однако, невелик и составляет примерно  $5 \cdot 10^{-4}$  (ср. кривые 3 и 3').

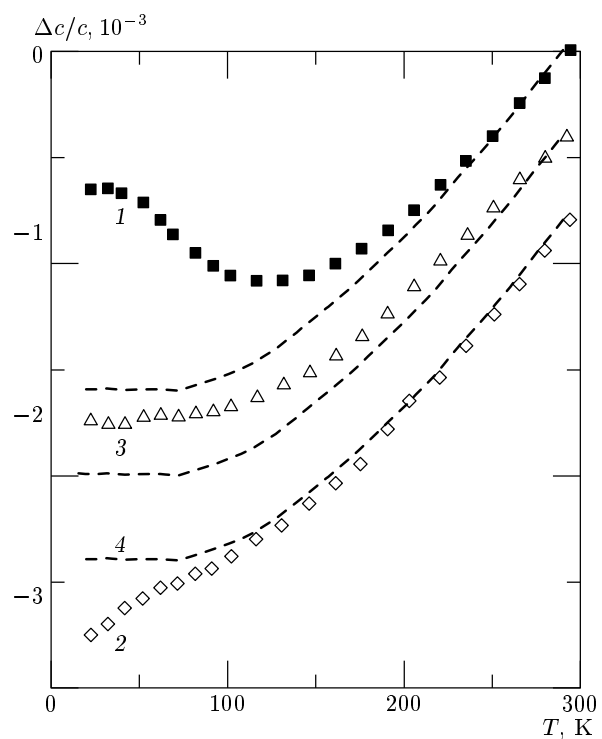
Во всей исследованной области температур структура  $\text{TbLiF}_4$  остается тетрагональной, только меняется с температурой степень тетрагональности, определяемая величиной  $\Delta c/c - \Delta a/a$  (кривая 4). Отметим, что для Lu-соединения тепловое расширение вдоль и перпендикулярно тетрагональной оси сравнимо по величине, так что степень тетрагональности с температурой меняется незначительно (кривая 4'). Для Tb-шеелита изменение степени тетрагональности с температурой более существенно по величине. Представление теплового расширения в терминах полносимметричных деформаций  $\Delta\varepsilon^{\alpha_1}/\varepsilon^{\alpha_1} \sim \Delta V/V$  и  $\Delta\varepsilon^{\alpha_2}/\varepsilon^{\alpha_2} \sim (\Delta c/c - \Delta a/a)$  полезно потому, что их МУ-вклады, как будет показано далее, дают прямую информацию о величине и знаке соответствующих МУ-коэффициентов. Для Tb-шеелита, в отличие от редкоземельных ванадатов [3], оба МУ-вклада имеют отрицательные знаки и вклад в объемную деформацию при этом существенно меньше по величине. Это связано с соотношением величин МУ-вкладов вдоль осей  $c$  и  $a$  для структур циркона и шеелита.

Для шеелитов  $\text{DyLiF}_4$ ,  $\text{HoLiF}_4$  и  $\text{TmLiF}_4$  наблюдаются похожие аномалии параметров решетки (рис. 3 и 4), о величине которых можно судить по разнице между  $\Delta a/a$  и  $\Delta c/c$  данного редкоземельного шеелита и  $\text{LuLiF}_4$ . Магнитоупругий вклад для исследованных шеелитов отрицателен при всех температурах для параметра  $a$ , но положителен, по крайней мере при не очень низких температурах, для параметра  $c$ . На рис. 3 и 4 видно, что МУ-вклад максимальен для Tb-шеелита и уменьшается для Dy- и Tm-соединений. Тепловое расширение  $\text{DyLiF}_4$  вдоль обеих осей при  $T > 100$  К больше, чем  $\text{LuLiF}_4$ , что, на наш взгляд, может свидетельствовать о различии фононных вкладов Dy- и Lu-шеелитов. Кроме того, для  $\text{DyLiF}_4$  при высоких температурах  $|\Delta a/a| > |\Delta c/c|$ , но соотношение меняется при  $T < 50$  К, что связано с изменением знаков МУ-вкладов в параметры  $a$  и  $c$ .

Особенности теплового расширения  $\text{RLiF}_4$  аналогичны наблюдаемым ранее для редкоземельных фосфатов [4] и редкоземельных ванадатов [3] и обусловлены МУ-взаимодействием асферического облака  $4f$ -оболочки редкоземельного иона с решеткой. При высоких температурах, когда все уровни мультиплета равномерно заселены, электронная оболочка сферически симметрична. С понижением температуры из-за постепенного уменьшения заселенности (вымораживания) возбужденных уровней меняется



**Рис. 3.** Относительные изменения с температурой параметра  $\Delta a/a = a(T)/a_0 - 1$  тетрагональной элементарной ячейки редкоземельных шеелитов ( $a_0 = a(290 \text{ K})$ ): 1 —  $\text{TbLiF}_4$  ( $a_0 = 5.197 \text{ \AA}$ ), 2 —  $\text{DyLiF}_4$  ( $a_0 = 5.186 \text{ \AA}$ ), 3 —  $\text{TmLiF}_4$  ( $a_0 = 5.148 \text{ \AA}$ ), 4 —  $\text{LuLiF}_4$  ( $a_0 = 5.126 \text{ \AA}$ ). Кривые последовательно смещены по оси  $y$  на величину  $-4 \cdot 10^{-4}$



**Рис. 4.** Относительные изменения с температурой параметра  $\Delta c/c = c(T)/c_0 - 1$  тетрагональной элементарной ячейки редкоземельных шеелитов ( $c_0 = c(290 \text{ K})$ ): 1 —  $\text{TbLiF}_4$  ( $c_0 = 10.87 \text{ \AA}$ ), 2 —  $\text{DyLiF}_4$  ( $c_0 = 10.81 \text{ \AA}$ ), 3 —  $\text{TmLiF}_4$  ( $c_0 = 10.65 \text{ \AA}$ ), 4 —  $\text{LuLiF}_4$  ( $c_0 = 10.55 \text{ \AA}$ ). Кривые последовательно смещены по оси  $y$  на величину  $-4 \cdot 10^{-4}$

асферичность электронного облака, характеризуемая квадрупольными и мультипольными моментами, что и приводит за счет МУ-связи к дополнительным МУ-аномалиям параметров решетки.

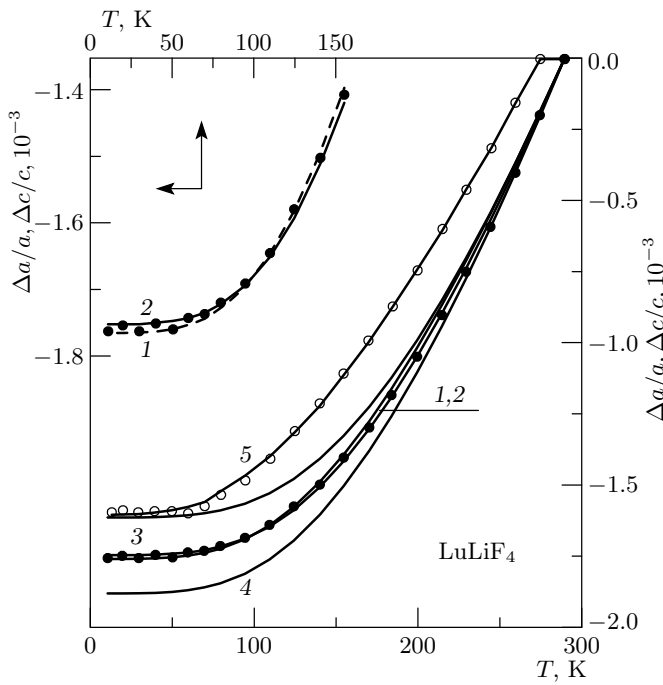
Систематических экспериментальных данных по МУ-вкладу в тепловое расширение редкоземельных шеелитов и его анализу в литературе нет. Можно отметить только работу [5], в которой приведены температурные зависимости параметров  $a$  и  $c$  кристаллов  $\text{HoLiF}_4$  и  $\text{TmLiF}_4$  и их анализ в мультипольном приближении с использованием МУ-коэффициентов, рассчитанных в модели обменных зарядов. Такой подход не позволяет провести корректное сравнение МУ-эффектов для различных структур, а рассчитанные МУ-коэффициенты, как отмечалось, могут рассматриваться только как оценочные. Поэтому в настоящей работе проводится анализ полносимметричных МУ-мод в том же подходе, что использовался ранее для редкоземельных цирконов [3].

### 3.2. Тепловое расширение решетки шеелита ( $\text{LuLiF}_4$ )

Чтобы выделить МУ-вклад в тепловое расширение в чистом виде, необходимо корректно учесть фононный вклад. Рентгенографические измерения  $\text{LuLiF}_4$  позволяют выделить фононный вклад  $\Delta a_{ph}/a$  и  $\Delta c_{ph}/c$  для других  $\text{RLiF}_4$ , необходимо только ввести поправку на его изменение по ряду редкоземельных ионов. Для введения поправки на изменение фононного вклада, которая в большинстве случаев составляет (10–15)% от самого вклада, допустимо, на наш взгляд, использовать достаточно грубые модели, например, дебаевскую модель твердого тела.

Согласно дебаевской модели тепловое расширение, например, вдоль оси  $a$ ,

$$\Delta a_{ph}/a = \alpha_0 T_D \int_0^t [C_v(t)/3R] dt, \quad (1)$$



**Рис. 5.** Экспериментальные ( $\text{LuLiF}_4$ , точки) и рассчитанные по дебаевской модели относительные изменения с температурой параметров  $\Delta a/a$  (1–4) и  $\Delta c/c$  (5) тетрагональной элементарной ячейки шеелита; расчет по формуле (1) с параметрами: 1 —  $T_D = 790 \text{ K}$ ,  $\alpha_0 = 18.8 \cdot 10^{-6}$ , 2 —  $T_D = 710 \text{ K}$ ,  $\alpha_0 = 16.8 \cdot 10^{-6}$ , 3, 4 —  $T_D = 740, 840 \text{ K}$ ,  $\alpha_0 = 18.8 \cdot 10^{-6}$ , 5 —  $T_D = 600 \text{ K}$ ,  $\alpha_0 = 13.0 \cdot 10^{-6}$

описывается универсальной функцией теплоемкости при постоянном объеме  $C_v(t)$  от приведенной температуры  $t = T/T_D$  с двумя независимыми коэффициентами  $T_D$  и  $\alpha_0$ .

На рис. 5 приведены экспериментальные данные для  $\text{LuLiF}_4$  и рассчитанные по формуле (1) для различных значений параметров  $T_D$  и  $\alpha_0$  кривые  $\Delta a_{ph}/a$  и  $\Delta c_{ph}/c$ . Видно, что тепловое расширение  $\text{LuLiF}_4$  вдоль оси  $a$  достаточно хорошо описывается дебаевской формулой с коэффициентами  $T_D = 790 \text{ K}$  и  $\alpha_0 = 18.8 \cdot 10^{-6}$  (кривая 1). Из сравнения кривых 1 и 2 ( $T_D = 710 \text{ K}$ ,  $\alpha_0 = 16.8 \cdot 10^{-6}$ ) следует, что с точностью нашего эксперимента определяется, вообще говоря, связанная пара коэффициентов: можно одновременно несколько уменьшить или увеличить  $T_D$  и  $\alpha_0$ , так что согласие остается удовлетворительным в пределах ошибки эксперимента. Для более точного определения дебаевской температуры необходимы прецизионные измерения при температурах ниже 150 K. Расчет показывает, что при изменении дебаевской температуры в пределах

±50 K изменение фононного вклада весьма существенно по сравнению с МУ-вкладом (ср. кривую 1 и кривые 3 и 4;  $\alpha_0 = 18.8 \cdot 10^{-6}$ ,  $T_D = 740, 840 \text{ K}$ ). Тепловое расширение вдоль тетрагональной оси  $c$  аппроксимируется дебаевской зависимостью с параметрами  $T_D = 600 \text{ K}$  и  $\alpha_0 = 13.0 \cdot 10^{-6}$  (кривая 5). Подчеркнем, что в дальнейшем дебаевская модель используется нами как простая и удобная форма описания теплового расширения решетки  $\text{RLiF}_4$  для введения поправки на изменение фононного вклада и полученные значения параметров  $T_D$  и  $\alpha_0$  далее нигде не используются и не обсуждаются.

#### 4. ТЕОРЕТИЧЕСКОЕ РАССМОТРЕНИЕ

##### 4.1. Магнитоупругий вклад в тепловое расширение тетрагональных соединений

Для расчета редкоземельного вклада в тепловое расширение в отсутствие или при наличии магнитного поля используется гамильтониан, включающий в себя гамильтониан кристаллического поля  $H_{CF}$ , зеемановский член  $H_Z$  и одночастичный магнитоупругий гамильтониан  $H_{ME}$ . Поскольку расчет термодинамических свойств достаточно проводить только на основном мультиплете, запишем гамильтониан кристаллического поля через эквивалентные операторы  $O_n^m$  в виде

$$H_{CF} = \alpha_J B_2^0 O_2^0 + \beta_J (B_4^0 O_4^0 + B_4^4 O_4^4 + B_4^{-4} \Omega_4^4) + \gamma_J (B_6^0 O_6^0 + B_6^4 O_6^4 + B_6^{-4} O_6^4), \quad (2)$$

где  $\alpha_J$ ,  $\beta_J$ ,  $\gamma_J$  — параметры Стевенса, а число параметров кристаллического поля  $B_n^m$  для тетрагональной структуры шеелита (локальная симметрия  $S_4$ ) равно семи. В отличие от структуры циркона (локальная симметрия  $D_{2d}$ ) в гамильтониане  $H_{CF}$  имеются два дополнительных члена с недиагональными мнимыми операторами  $\Omega_4^4$  и  $\Omega_6^4$ . Матричные элементы этих операторов с точностью до коэффициента  $i$  совпадают с элементами соответствующих операторов Стевенса  $O_4^4$  и  $O_6^4$  [6].

Зеемановское взаимодействие редкоземельных ионов с магнитным полем  $\mathbf{H}$  описывается гамильтонианом

$$H_Z = -g_J \mu_B \mathbf{J} \mathbf{H}, \quad (3)$$

где  $g_J$  — фактор Ланде,  $\mathbf{J}$  — оператор углового момента редкоземельного иона,  $\mu_B$  — магнетон Бора.

Для расчета МУ-эффектов чаще всего используется квадрупольное приближение. В МУ-гамильтониане в явном виде выпишем лишь инварианты, пре-

образующиеся по полностью симметричному представлению, которые существенны для рассчитываемых полносимметричных мод:

$$H_{ME} = -\alpha_J O_2^0 (B_{20}^{\alpha 1} \varepsilon^{\alpha 1} + B_{20}^{\alpha 2} \varepsilon^{\alpha 2}), \quad (4)$$

где  $B_{20}^{\alpha 1}$  и  $B_{20}^{\alpha 2}$  — квадрупольные МУ-коэффициенты. Симметризованные деформации, изотропная  $\varepsilon^{\alpha 1}$  и тетрагональная  $\varepsilon^{\alpha 2}$ , выражаются через декартовы компоненты тензора деформации следующим образом:

$$\begin{aligned} \varepsilon^{\alpha 1} &= \sqrt{1/3} (\varepsilon_{xx} + \varepsilon_{yy} + \varepsilon_{zz}), \\ \varepsilon^{\alpha 2} &= \sqrt{2/3} [\varepsilon_{zz} - (\varepsilon_{xx} + \varepsilon_{yy})/2]. \end{aligned} \quad (5)$$

Полносимметричные МУ-моды находятся, как обычно, из условия минимума свободной энергии  $F = E_E - k_B T \ln Z$ . В статистической сумме

$$Z = \sum_i \exp(-E_i/k_B T)$$

уровни энергии  $E_i$  для редкоземельного иона достаточно рассчитывать с учетом гамильтониана кристаллического поля  $H_{CF}$  и зеemanовского члена  $H_Z$  при наличии магнитного поля. В упругой энергии тетрагонального кристалла учитываются только полносимметричные деформации, определяемые через симметризованные компоненты тензора деформации [7]:

$$E_E = \frac{1}{2} C_0^{\alpha 1} (\varepsilon^{\alpha 1})^2 + C_0^{\alpha 12} \varepsilon^{\alpha 1} \varepsilon^{\alpha 2} + \frac{1}{2} C_0^{\alpha 2} (\varepsilon^{\alpha 2})^2, \quad (6)$$

где  $C_0^\mu$  — симметризованные упругие постоянные решетки без учета магнитных взаимодействий, связь которых с декартовыми компонентами  $C_{ij}$  приведена, например, в работе [8].

Для полносимметричных МУ-аномалий тетрагональной решетки в квадрупольном приближении ранее были получены выражения [8, 9]

$$\left( \frac{\Delta \varepsilon^{\alpha 1}}{\varepsilon^{\alpha 1}} \right)_{me} = \frac{B_{20}^{\alpha 1} C_0^{\alpha 2} - B_{20}^{\alpha 2} C_0^{\alpha 12}}{C_0^{\alpha 1} C_0^{\alpha 2} - (C_0^{\alpha 12})^2} Q_{20}(T, H), \quad (7)$$

$$\left( \frac{\Delta \varepsilon^{\alpha 2}}{\varepsilon^{\alpha 2}} \right)_{me} = \frac{B_{20}^{\alpha 2} C_0^{\alpha 1} - B_{20}^{\alpha 1} C_0^{\alpha 12}}{C_0^{\alpha 1} C_0^{\alpha 2} - (C_0^{\alpha 12})^2} Q_{20}(T, H), \quad (8)$$

где

$$Q_{20}(T, H) = \alpha_J \langle O_2^0 \rangle = \alpha_J \frac{1}{Z} \langle i | O_2^0 | i \rangle \exp \left( -\frac{E_i}{k_B T} \right).$$

Квадрупольный момент  $\langle O_2^0 \rangle = \langle 3J_z^2 - J(J+1) \rangle$  (наблюданное значение оператора  $O_2^0$ ) равен нулю для кубического кристалла, у которого оси  $x$ ,  $y$  и  $z$  эквиваленты ( $\langle J_x^2 \rangle = \langle J_y^2 \rangle = \langle J_z^2 \rangle = \langle J(J+1)/3 \rangle$ ), и

становится отличным от нуля, когда ось  $z$  является выделенной, например, в кристалле тетрагональной симметрии. Квадрупольный момент, таким образом, описывает степень асферичности электронного облака, и его изменение с температурой или приложении внешнего магнитного поля обуславливает МУ-аномалии теплового расширения.

Анализ и описание МУ-эффектов в мультипольном приближении значительно усложняются. Одночастичный МУ-гамильтониан в мультипольном приближении, линейный по компонентам тензора деформации  $\varepsilon^\mu$  (гармоническое приближение), для редкоземельного иона в позиции с тетрагональной симметрией окружения содержит 26 инвариантов [3]. Обычно при описании МУ-эффектов ограничиваются квадрупольным приближением, что для тетрагональной симметрии, например, уменьшает число членов в гамильтониане до пяти. Однако, не очевидно, что для систем с сильными МУ-взаимодействиями простейшее квадрупольное приближение является достаточным для адекватного описания всей совокупности МУ-эффектов.

Таким образом, в мультипольном приближении полносимметричные МУ-моды определяются изменением с температурой всех мультипольных моментов редкоземельных ионов  $Q_{nm}$ , которые могут быть рассчитаны численно по известным параметрам кристаллического поля. При этом вклады мультипольных моментов в полносимметричные МУ-моды описываются формулами, аналогичными (7), (8), в которые входят мультипольные моменты  $Q_{nm}$  и мультипольные МУ-коэффициенты  $B_{nm}^{\alpha 1}$  и  $B_{nm}^{\alpha 2}$ .

#### 4.2. Мультипольные моменты редкоземельных ионов в шеелитах и критерии применимости квадрупольного приближения

Параметры кристаллического поля для большинства редкоземельных шеелитов  $RLiF_4$  можно считать надежно установленными из детальных оптических исследований [10–18]. Имеющиеся в литературе сведения по кристаллическому полю редкоземельных шеелитов систематизированы в табл. 1 с указанием метода измерения и базиса, на котором они определены. Параметры кристаллического поля, используемые при расчетах, отмечены звездочкой. Для некоторых соединений семейства  $DyLiF_4$  и  $YbLiF_4$ , однако, имеются только параметры кристаллического поля, рассчитанные по модели обмен-

**Таблица 1.** Параметры кристаллического поля редкоземельных шеелитов, определенные в формализме тензорных ( $C_k^g$ ) или эквивалентных ( $O_n^m$ ) операторов. В кристаллографической системе координат параметры  $B_4^{-4}$  и  $B_6^{-4}$  отличны от нуля. Наборы параметров кристаллического поля, используемые при расчетах, отмечены звездочкой

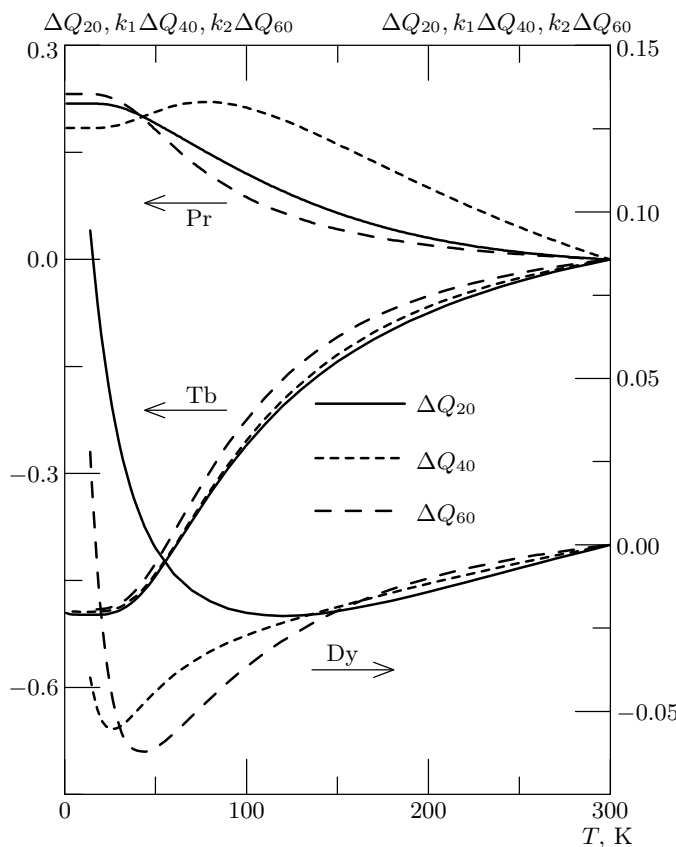
RLiF <sub>4</sub>	Метод	$B_2^0$ , см <sup>-1</sup>	$B_4^0$ , см <sup>-1</sup>	$B_6^0$ , см <sup>-1</sup>	$B_4^4$ , см <sup>-1</sup>	$B_6^4$ , см <sup>-1</sup>	$B_4^{-4}$ , см <sup>-1</sup>	$B_6^{-4}$ , см <sup>-1</sup>	Ссыл.
PrLiF <sub>4</sub>	( $C_k^g$ )*	489	-1043	-42	1242	1213	-	23	[10]
NdLiF <sub>4</sub>	$C_k^g$	441	-906	-26	1114	1072	-	21	[10]
NdLiF <sub>4</sub>	( $C_k^g$ )*	532	-934	-76	-1161	-916	244	534	[11]
TbLiF <sub>4</sub>	$C_k^g$	474	-433	64	1080	744	-	286	[12]
TbLiF <sub>4</sub>	( $O_n^m$ )*	237	-54	4	-854	-477	-739	-291	[13]
DyLiF <sub>4</sub>	$O_n^m$	207	-69.5	-0.6	-776.5	-536	-581	-285	экст.
DyLiF <sub>4</sub>	( $O_n^m$ )*	202	-66	1.5	-756	-340	-654	-272	оптим.
HoLiF <sub>4</sub>	$C_k^g$	379	-626	-52	831	608	-	-	[14]
HoLiF <sub>4</sub>	( $O_n^m$ )*	189.3	-78.3	-3.3	-657	-322	-568	-253	[15]
ErLiF <sub>4</sub>	$C_k^g$	377	-642	-71	861	625	-	-	[14]
ErLiF <sub>4</sub>	( $O_n^m$ )*	190	-80	-2.3	-771	-363	-667	-222	[16]
TmLiF <sub>4</sub>	$C_k^g$	368	-717	-65	919	619	-	-	[17]
TmLiF <sub>4</sub>	( $O_n^m$ )*	184	-90	-4.06	-727	-328	-628	-284	[18]
YbLiF <sub>4</sub>	( $O_n^m$ )*	185	-76	0	-618	-288	-534	-177	[13]

ных зарядов и не имеющие надежного экспериментального подтверждения. Наши экспериментальные данные в ряде случаев позволяют сделать выбор между альтернативными наборами параметров кристаллического поля для этих соединений. Следует отметить, что оптические эксперименты часто описываются в повернутой системе координат, для которой углы поворота точно не определены, что затрудняет использование полученных параметров кристаллического поля для описания МУ-эффектов.

Численные расчеты показывают, что часто в RLiF<sub>4</sub> мультипольные моменты четвертого или шестого порядков сравнимы (TbLiF<sub>4</sub>, DyLiF<sub>4</sub>), а иногда даже значительно превышают (HoLiF<sub>4</sub>, TmLiF<sub>4</sub>) квадрупольные моменты. Температурные зависимости трех диагональных мультипольных моментов  $\Delta Q_{20}$ ,  $\Delta Q_{40}$ ,  $\Delta Q_{60}$  для некоторых исследованных ионов (Pr, Tb–Ho, Tm) приведены на рис. 6, 7. Недиагональные мультипольные моменты  $Q_{44}$ ,  $Q_{64}$  (а также пропорциональные им моменты  $\Omega_{44}$ ,  $\Omega_{64}$ ) и их изменения с температурой для исследованных ионов в структуре шеелита, как правило, малы и далее обсуждаться не будут. Для удобства сравнения приведены масштабируемые зависимости мультипольных моментов  $k_1 \Delta Q_{40}$  и  $k_2 \Delta Q_{60}$ , где величи-

на и знак масштабных коэффициентов  $k_1$ ,  $k_2$  выбраны так, чтобы изменения  $Q_{20}$ ,  $Q_{40}$  и  $Q_{60}$  в интервале 10–300 К были сравнимы по величине. Чем меньше по величине коэффициенты  $k_1$ ,  $k_2$ , тем более существенный вклад в тепловое расширение можно ожидать от мультипольных моментов соответственно четвертого и шестого порядков. Отметим, что, как правило, моменты  $Q_{20}$  и  $Q_{60}$  отрицательны, а момент  $Q_{40}$  положителен. Такие знаки мультипольных моментов  $Q_{i0}$  определяются тем, что параметры кристаллического поля второго и шестого порядков в шеелитах положительны, а четвертого порядка — отрицательны. Критерии применимости квадрупольного приближения могут быть сформулированы по-разному для двух различных групп ионов.

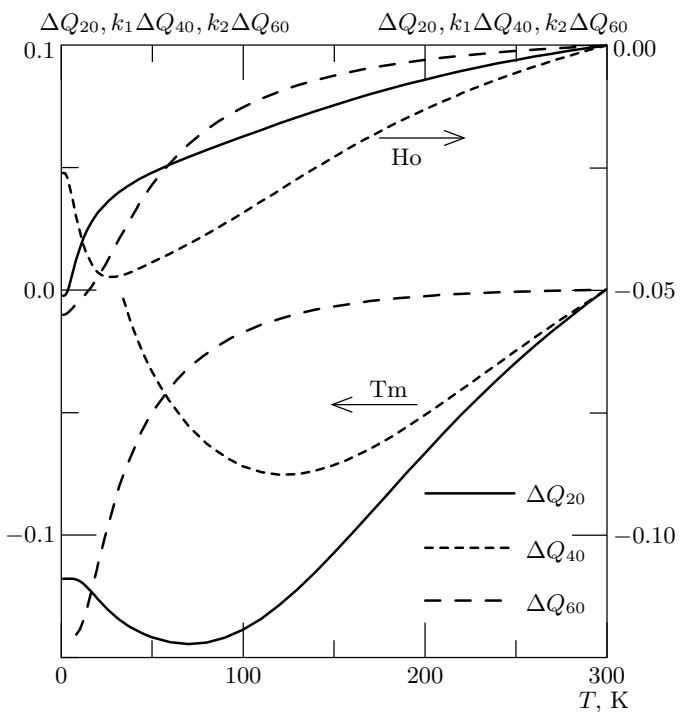
В случае, когда температурные зависимости всех моментов подобны, как например для TbLiF<sub>4</sub>, можно использовать «эффективное» квадрупольное приближение, для которого «эффективный» МУ-коэффициент является некоторой комбинацией квадрупольного и мультипольных МУ-коэффициентов. При этом на основании данных эксперимента затруднительно сделать вывод о вкладе мультипольных моментов различных порядков в полносимметричные МУ-моды.



**Рис. 6.** Рассчитанные температурные зависимости мультипольных моментов  $\Delta Q_{20}$ ,  $k_1 \Delta Q_{40}$  и  $k_2 \Delta Q_{60}$  для редкоземельных шеелитов  $\text{PrLiF}_4$  ( $k_1 = 1$ ,  $k_2 = 0.15$ ),  $\text{TbLiF}_4$  ( $k_1 = -0.82$ ,  $k_2 = 2.9$ ) и  $\text{DyLiF}_4$  ( $k_1 = -0.7$ ,  $k_2 = 0.4$ )

Если же температурные зависимости мультипольных моментов  $Q_{j0}$  сильно различаются (Tm, Ho), то из сравнения с экспериментальными данными можно сделать вывод, какой из моментов дает основной вклад в тепловое расширение, и оценить величины актуальных МУ-коэффициентов. При этом, если вклад мультипольных моментов четвертого и шестого порядков в МУ-аномалии теплового расширения существен, то на температурных зависимостях  $\Delta a_{me}/a$  и  $\Delta c_{me}/c$  должны наблюдаться особенности, соответствующие этим моментам. Расчеты температурных зависимостей мультипольных моментов редкоземельных ионов и сравнение с экспериментом позволяют провести оценки вкладов в тепловое расширение различных мультипольных моментов несмотря на недостаток информации о МУ-коэффициентах различных порядков.

Анализ экспериментальных данных для TmLiF<sub>4</sub> и HoLiF<sub>4</sub> свидетельствует о том, что заметный



**Рис. 7.** Рассчитанные температурные зависимости мультипольных моментов  $\Delta Q_{20}$ ,  $k_1 \Delta Q_{40}$  и  $k_2 \Delta Q_{60}$  для редкоземельных шеелитов  $\text{HoLiF}_4$  ( $k_1 = -0.45$ ,  $k_2 = -0.045$ ) и  $\text{TmLiF}_4$  ( $k_1 = -1$ ,  $k_2 = 0.15$ )

вклад обусловлен, по-видимому, мультипольными моментами шестого порядка соответствующих ионов. Действительно, для TmLiF<sub>4</sub> изменение мультипольного момента шестого порядка  $Q_{60}$  почти на порядок ( $k_2 = 0.15$ ) превышает изменение квадрупольного и имеет иную температурную зависимость. Изменение квадрупольного момента  $|\Delta Q_{20}|$  имеет максимум при 80 К и начинает уменьшаться при более низких температурах, что не согласуется с аномалиями теплового расширения TmLiF<sub>4</sub>. Изменение момента  $\Delta Q_{60}$  монотонно, и скорость роста максимальна в области температур примерно 50 К, где в эксперименте наблюдается аномалия теплового расширения. Пропорциональность МУ-вкладов  $\Delta c_{me}/c$  и  $\Delta a_{me}/a$  в TmLiF<sub>4</sub> мультипольному моменту  $\Delta Q_{60}$  означает, что МУ-коэффициенты шестого порядка  $B_{60}^{\alpha 1}$  и  $B_{60}^{\alpha 2}$  не слишком малы по сравнению с соответствующими квадрупольными МУ-коэффициентами. Расчеты в модели обменных зарядов дают такие же соотношения между МУ-коэффициентами различных порядков [19]. Похожее поведение мультипольных моментов имеет место и для иона Ho в структуре шеелита ( $k_1 = -0.45$ ,  $k_2 = -0.045$ ; рис. 7).

**Таблица 2.** Коэффициенты  $A_1 = 3(\Delta c_{me}/c)/\Delta Q_{20}$  и  $A_2 = 3(\Delta a_{me}/a)/\Delta Q_{20}$  и квадрупольные магнитоупругие коэффициенты  $B^{\alpha 1}$  и  $B^{\alpha 2}$  для редкоземельных шеелитов;  $(\Delta c_{me}/c)$ ,  $(\Delta a_{me}/a)$  и  $\Delta Q_{20}$  — МУ-вклады в тепловое расширение соответственно вдоль осей  $c$  и  $a$  и изменение квадрупольного момента в интервале температур (10–290) К

RLiF <sub>4</sub>	$A_1, 10^{-2}$	$A_2, 10^{-2}$	$B^{\alpha 1},$ $10^3 \text{ К/форм. ед.}$	$B^{\alpha 2},$ $10^3 \text{ К/форм. ед.}$
TbLiF <sub>4</sub> <sup>a)</sup>	-0.645	0.366	0.03	-1.37
TbLiF <sub>4</sub> <sup>b)</sup>	-0.642	0.353	-0.03	-1.35
DyLiF <sub>4</sub> <sup>b)</sup>	-0.75	0.375	-0.2	-1.54
TbVO <sub>4</sub> <sup>a)</sup>	0.75	-1.02	-5.40	5.13

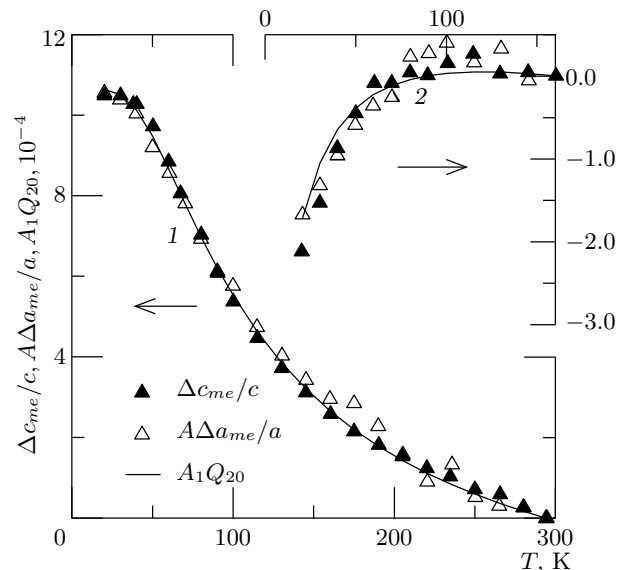
<sup>a)</sup> для интервала (10–290) К,

<sup>b)</sup> для интервала (10–160) К.

Поскольку кристаллическое поле для TmLiF<sub>4</sub> надежно определено, а поправки к фононному вкладу по сравнению с LuLiF<sub>4</sub> не оказывают заметного влияния на характер зависимостей  $\Delta c_{me}/c$  и  $\Delta a_{me}/a$ , приведенные рассмотрение и выводы являются достаточно надежными. Учитывая, что МУ-коэффициенты не очень сильно меняются по ряду редкоземельных ионов в пределах данной структуры, по-видимому, следует считать, что аналогичное соотношение между МУ-коэффициентами различных порядков имеет место и для других редкоземельных ионов. Таким образом, анализ экспериментальных данных по тепловому расширению RLiF<sub>4</sub> позволяет сделать вывод о том, что для полносимметричных МУ-мод в шеелитах для ряда редкоземельных ионов вклады мультипольных моментов четвертого и шестого порядков могут превышать вклады квадрупольных моментов, т. е. квадрупольное приближение для них не вполне справедливо.

## 5. МАГНИТОУПРУГИЙ ВКЛАД В ТЕПЛОВОЕ РАСШИРЕНИЕ RLiF<sub>4</sub> (R = Tb–Ho, Tm)

Для определения квадрупольных МУ-коэффициентов использовались экспериментальные данные для соединения TbLiF<sub>4</sub>, для которого справедливо «эффективное» квадрупольное приближение. При выделении МУ-вклада в TbLiF<sub>4</sub> вводилась поправка на изменение фононного вклада. Для этого использовалась оптимизационная процедура, в которой параметры дебаевской модели  $T_D$  и  $\alpha_0$  изменялись в пределах  $\pm 20\%$  от их значений для LuLiF<sub>4</sub>, так чтобы результирующий МУ-вклад был пропор-



**Рис. 8.** Экспериментальные и рассчитанные в квадрупольном приближении МУ-вклады  $\Delta c_{me}/c$ ,  $A\Delta a_{me}/a$ ,  $A_1\Delta Q_{20}$  для TbLiF<sub>4</sub> (1) и DyLiF<sub>4</sub> (2). Значения параметров  $A = A_1/A_2$  и  $A_1$  для указанных редкоземельных ионов приведены в табл. 2 ( $A \sim -1$ ,  $A_1 \sim 10^{-2}$ )

ционален квадрупольному моменту, а фононное тепловое расширение вдоль осей  $c$  и  $a$  отличалось от Lu-шеелита максимально (при низких температурах) не более чем на некоторую заданную величину  $\delta(\Delta c/c)_0 \sim \delta(\Delta a/a)_0 \sim 1 \cdot 10^{-4}$ .

В результате оптимизации были определены коэффициенты пропорциональности между МУ-вкладами и квадрупольным моментом для Tb- и Dy-шеелитов:  $\Delta c_{me}/c = A_1\Delta Q_{20}/3$ ,  $\Delta a_{me}/a = A_2\Delta Q_{20}/3$

(см. формулы (7), (8)), которые приведены в табл. 2. Магнитоупругие вклады вдоль осей  $c$  и  $a$  и рассчитанные квадрупольные моменты для указанных шеелитов приведены на рис. 8. Для удобства сравнения МУ-вклад вдоль оси  $a$  и квадрупольный момент даны с соответствующими множителями  $A\Delta a_{me}/a$  и  $A_1\Delta Q_{20}$  ( $A = A_1/A_2 \sim -1$  и  $A_1 \sim 10^{-2}$ ; см. табл. 2). Как уже отмечалось, для  $DyLiF_4$  в литературе отсутствуют данные по кристаллическому полю, а с помощью экстраполированного (среднего для соседних ионов Tb и Ho) кристаллического поля не удается получить приемлемое описание МУ-вклада. Поэтому для  $DyLiF_4$  была проведена дополнительная оптимизация экстраполированного кристаллического поля с привлечением информации о  $g$ -факторах и расщеплении для низких уровней иона  $Dy^{3+}$ , в результате которой удалось получить лучшее согласие с экспериментом. Конечно, в отсутствие спектроскопической информации для  $DyLiF_4$  провести полную оптимизацию кристаллического поля и получить единственный достоверный набор параметров не удается.

## 6. ОБСУЖДЕНИЕ РЕЗУЛЬТАТОВ

В случае справедливости «эффективного» квадрупольного приближения вклад редкоземельных ионов в тепловое расширение определяется квадрупольными МУ-коэффициентами  $B_{20}^{\alpha 1} = B^{\alpha 1}$  и  $B_{20}^{\alpha 2} = B^{\alpha 2}$  и изменением квадрупольного момента  $\Delta Q_{20} = Q_{20}(T) - Q_{20}(290 \text{ K})$  с температурой (см. формулы (7), (8)). Отметим некоторые особенности температурных зависимостей квадрупольных моментов  $\Delta Q_{20}$  по ряду редкоземельных шеелитов (рис. 9). Наибольшее изменение  $\Delta Q_{20}$  в интервале (10–290) К в соответствии с экспериментом наблюдается для  $TbLiF_4$ . Расчет показывает (см. рис. 9), что в области температур ниже 50 К имеется смена знака квадрупольного момента для  $Dy$ -шеелита и изменение знака его производной для  $Tm$ -шеелита.

Для остальных шеелитов изменение квадрупольных моментов мало, как показано на вставке рис. 9. Для  $Ho$ - и  $Er$ -шеелитов изменение  $\Delta Q_{20}(T)$  хотя невелико, но имеет резкие аномалии в области температур примерно 30–50 К, где фоновый вклад практически не меняется. Эти низкотемпературные аномалии можно исследовать более чувствительными методами, например, с помощью метода тензодатчиков. В  $HoLiF_4$  и  $TmLiF_4$  (кривые 3, 5) изменения квадрупольных моментов в интервале температур 10–290 К невелики и не должны приводить

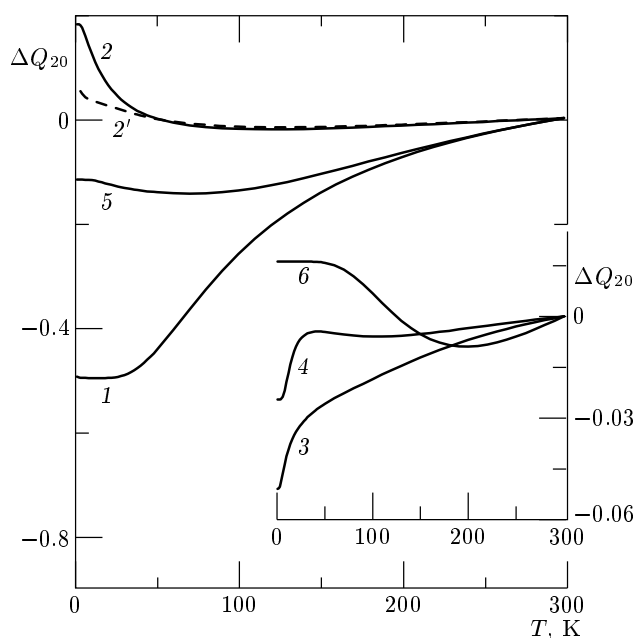


Рис. 9. Рассчитанные квадрупольные моменты  $Q_{20}$  для  $RLiF_4$ : 1 —  $TbLiF_4$ , 2, 2' —  $DyLiF_4$ , 5 —  $TmLiF_4$ . На вставке показаны рассчитанные квадрупольные моменты  $Q_{20}$  в большем масштабе: 3 —  $HoLiF_4$ , 4 —  $ErLiF_4$ , 6 —  $YbLiF_4$

к наблюдаемым в эксперименте МУ-эффектам. Однако для этих ионов сильно меняются с температурой другие мультипольные моменты, поведение которых и определяет, по-видимому, МУ-вклад в тепловое расширение.

Интересно связать аномалии на зависимостях  $\Delta Q_{20}(T)$  с особенностями спектра и волновых функций редкоземельных ионов в структуре шеелита. Анализ показывает, что для  $Tb$ -шеелита резкое изменение  $\Delta Q_{20}(T)$  при  $T \sim 90$  К связано с уменьшением заселенности двух низких синглетов, образующих квазидублет и дающих основной вклад, который убывает при увеличении заселенности следующего возбужденного уровня, расположенного на расстоянии  $E_3 \sim 180$  К. Для  $Dy$ -шеелита ситуация иная: вклад от нижнего дублета очень мал, тогда как вклад от следующих трех дублетов, расположенных при  $T = 5, 62, 88$  К, сравним по величине и постепенно уменьшается по мере уменьшения заселенности этих уровней с понижением температуры. Это объясняет изменение знака  $\Delta Q_{20}(T)$  при низких температурах. Отметим также значительную чувствительность квадрупольного и мультипольных моментов в  $DyLiF_4$  к параметрам кристаллического поля, как можно видеть из сравнения кривых 2 и 2' для

экстраполированного и оптимизированного кристаллического поля на рис. 9.

Величина экспериментально наблюдаемого МУ-вклада в тепловое расширение для Tb- и Dy-шеелитов коррелирует с изменением рассчитанных квадрупольных моментов  $\Delta Q_{20}$ . Это позволяет сделать вывод о том, что в первом приближении их квадрупольные МУ-коэффициенты  $B^{\alpha 1}$  и  $B^{\alpha 2}$  не слишком различаются. Используя для расчета константы упругости  $C_{11}$ ,  $C_{12}$ ,  $C_{13}$ , и  $C_{33}$  для YLiF<sub>4</sub> из [20], мы получили следующие величины симметризованных констант упругости, входящих в формулы (7), (8):  $C_0^{\alpha 1} = 13.0$  (в единицах  $10^5$  К/форм. ед.),  $C_0^{\alpha 2} = 5.03$  (в единицах  $10^5$  К/форм. ед.),  $C_0^{\alpha 12} = 0.7$  (в единицах  $10^5$  К/форм. ед.). Для структуры шеелита имеет место такая же иерархия констант упругости, что и для структуры циркона, а величины их в среднем в два раза меньше. Зная коэффициенты пропорциональности  $A_1$  и  $A_2$  и величины симметризованных констант упругости, мы определили МУ-квадрупольные коэффициенты  $B^{\alpha 1}$ ,  $B^{\alpha 2}$  для структуры шеелита, которые приведены в табл. 2. Для сравнения в этой таблице приведены также аналогичные данные для TbVO<sub>4</sub>. При указанном соотношении между константами упругости  $C_0^{\alpha 1} \sim C_0^{\alpha 2} \ll C_0^{\alpha 12}$  знак и величина коэффициента  $B^{\alpha 2}$  определяются МУ-модой ( $\Delta\varepsilon^{\alpha 2}/\varepsilon^{\alpha 2}$ )<sub>me</sub>/ $\Delta Q_{20} \approx B^{\alpha 2}/C_0^{\alpha 2}$  (изменение степени тетрагональности, формула (8)), а сравнимый по величине коэффициент  $B^{\alpha 1}$  — МУ-модой ( $\Delta\varepsilon^{\alpha 1}/\varepsilon^{\alpha 1}$ )<sub>me</sub>/ $\Delta Q_{20} \approx B^{\alpha 1}/C_0^{\alpha 1}$  (изменение объема, формула (7)).

Отметим, что МУ-коэффициенты для шеелитов имеют противоположные знаки и другую величину по сравнению с МУ-коэффициентами для ванадатов и фосфатов со структурой циркона [3, 4]. Для структуры шеелита коэффициент  $B^{\alpha 1}$  существенно меньше коэффициента  $B^{\alpha 2}$ , т. е. МУ-вклад в объемную деформацию незначителен по сравнению с МУ-вкладом в изменение степени тетрагональности. Поскольку МУ-коэффициент  $B^{\alpha 1}$  определяется как разность двух больших величин, небольшие изменения коэффициентов  $A_1$ ,  $A_2$  или констант упругости  $C_0^{\alpha 1}$ ,  $C_0^{\alpha 2}$ ,  $C_0^{\alpha 12}$  могут привести к изменению не только величины, но и знака этого коэффициента (см. табл. 2). Это обуславливает большую ошибку в его определении, и можно говорить только об оценке величины  $B^{\alpha 1}$  по сравнению с  $B^{\alpha 2}$ . Наибольший МУ-коэффициент  $B^{\alpha 2}$  для структуры шеелита примерно в 4 раза меньше соответствующего МУ-коэффициента для структуры циркона. Таким образом, МУ-аномалии теплового расширения ред-

коземельных шеелитов будут в два раза меньше, чем в редкоземельных цирконах при сравнимых по величине изменениях квадрупольных моментов.

Полученные экспериментальные данные для структуры шеелита свидетельствуют о существовании значительных мультипольных вкладов в спонтанные МУ-эффекты, такие как МУ-аномалии теплового расширения. Систематические исследования редкоземельных ионных соединений с другими структурами показывают, что для описания в них различных МУ-эффектов вполне приемлемо квадрупольное приближение. Для тетрагональных фосфатов RPO<sub>4</sub> [9] и ванадатов RVO<sub>4</sub> [3] со структурой циркона, а также для парамагнитных алюминатов и галлатов-гранатов с тяжелыми редкоземельными ионами от Tb до Yb, имеющими локальную орторомбическую симметрию [21], удается описать широкий круг МУ-эффектов (аномалии теплового расширения, модуль Юнга,  $\Delta E$ -эффект, магнитострикция) в рамках квадрупольного приближения. Необходимость использования мультипольного приближения в аналогичных ситуациях для редкоземельных шеелитов является новым и интересным результатом для теории магнитоупругости.

## 7. ЗАКЛЮЧЕНИЕ

В настоящей работе проведены экспериментальные и теоретические исследования теплового расширения редкоземельных шеелитов RLiF<sub>4</sub>. Для шеелитов с ионами Tb—Ho, Tm обнаружены значительные МУ-аномалии теплового расширения и с учетом поправок на изменение фононного вклада по ряду редкоземельных ионов в дебаевской модели теплового расширения выделены МУ-вклады в тепловое расширение  $\Delta c_{me}/c$ ,  $\Delta a_{me}/a$ . Из экспериментальных величин  $\Delta c_{me}/c$  и  $\Delta a_{me}/a$  определены полносимметричные квадрупольные МУ-коэффициенты  $B^{\alpha 1}$  и  $B^{\alpha 2}$ , которые сильно отличаются по величине. Сравнение с редкоземельными ванадатами RVO<sub>4</sub> показывает, что МУ-коэффициенты  $B^{\alpha 1}$ ,  $B^{\alpha 2}$  и изменения квадрупольных моментов  $\Delta Q_{20}$  имеют противоположные знаки для двух тетрагональных структур, тогда как квадрупольные МУ-вклады в тепловое расширение  $\Delta c_{me}/c$ ,  $\Delta a_{me}/a$ , зависящие от произведения этих факторов, одинаковы. Разные знаки квадрупольных моментов  $\Delta Q_{20}$  обусловлены разными знаками параметра второго порядка  $B_2^0$  для редкоземельных шеелитов и редкоземельных ванадатов.

Независимые экспериментальные данные о ве-

личинах МУ-коэффициентов и их иерархии в разных структурах необходимы для проверки различных моделей в теории магнитоупругости. В частности, имеющиеся для структуры шеелита расчеты МУ-коэффициентов в модели обменных зарядов [2] позволяют провести сравнение с экспериментом и выявить их связь со структурными параметрами кристалла, величинами зарядов ионов, дипольных моментов и т. д.

На основании сравнения рассчитанных квадрупольных и мультипольных моментов различных редкоземельных ионов в структуре шеелита и экспериментального МУ-вклада в тепловое расширение обсуждены условия применимости квадрупольного приближения для описания полносимметричных МУ-мод. Показано, что для ряда ионов мультипольные моменты могут давать существенный вклад и МУ-аномалии теплового расширения редкоземельных шеелитов не описываются только температурными зависимостями квадрупольных моментов редкоземельных ионов. Сделан вывод, что мультипольные МУ-коэффициенты четвертого и шестого порядков сравнимы с квадрупольными МУ-коэффициентами. Значительные мультипольные вклады и необходимость выхода за рамки квадрупольного приближения в редкоземельных шеелитах представляют определенный интерес для теории магнитоупругости. В связи с этим заслуживают дальнейшего экспериментального и теоретического исследования другие МУ-эффекты в редкоземельных шеелитах как спонтанные, так и индуцированные, для которых могут быть существенны мультипольные вклады.

Работа выполнена при частичной финансовой поддержке РФФИ (грант № 03-02-16809) и МНТЦ (грант № 2029).

## ЛИТЕРАТУРА

1. G. A. Gehring and K. A. Gehring, Rep. Progr. Phys. **38**, 1 (1975).
2. B. Z. Malkin, in *Spectroscopy of Solids Containing Rare-Earth Ions*, ed. by A. A. Kaplyanskii and R. M. Macfarlane, North-Holland, Amsterdam (1987), p. 13.
3. З. А. Казей, Н. П. Колмакова, ЖЭТФ **109**, 1687 (1996).
4. З. А. Казей, Н. П. Колмакова, О. А. Шишкина, ФТТ **39**, 106 (1997).
5. Р. Ю. Абдулсабиров, З. А. Казей, С. Л. Кораблева, Д. Н. Терпиловский, Известия АН, сер. физ. **57**, 138 (1993).
6. С. А. Альтшулер, Б. М. Козырев, *Электронный paramagnитный резонанс соединений элементов промежуточных групп*, Наука, Москва (1972).
7. E. de Lacheisserie, Ann. Phys. **5**, 267 (1970).
8. P. Morin, J. Rouchy, and D. Schmitt, Phys. Rev. B **37**, 5401 (1988).
9. В. И. Соколов, З. А. Казей, Н. П. Колмакова, Т. В. Соловьевянова, ЖЭТФ **99**, 945 (1991).
10. L. Esterowitz, F. J. Bartoli, R. E. Allen et al., Phys. Rev. B **19**, 6442 (1979).
11. H. De Leebeck and C. Gorller-Walrand, J. Alloys Comp. **225**, 75 (1995).
12. H. P. Christensen, Phys. Rev. B **17**, 4060 (1978).
13. А. К. Купчиков, Б. З. Малкин, А. Л. Натадзе, А. И. Рыскин, ФТТ **29**, 3335 (1987).
14. H. P. Christensen, Phys. Rev. B **19**, 6564 (1979).
15. Н. И. Апладзе, М. А. Корейба, Б. З. Малкин, ЖЭТФ **104**, 4171 (1993).
16. Л. А. Бумагина, В. И. Кротов, Б. З. Малкин, А. Х. Хасанов, ЖЭТФ **80**, 1543 (1981).
17. H. P. Christensen, Phys. Rev. B **19**, 6573 (1979).
18. А. В. Винокуров, Б. З. Малкин, А. И. Поминов, А. Л. Столов, ФТТ **28**, 381 (1986).
19. А. В. Винокуров, С. Л. Кораблева, ФТТ **38**, 801 (1988).
20. P. Blanchfield and G. A. Saunders, J. Phys. C: Sol. St. Phys. **12**, 4673 (1979).
21. N. P. Kolmakova, R. Z. Levitin, V. N. Orlov, and N. F. Vedernikov, J. Magn. Magn. Mat. **87**, 218 (1990).